

УДК 533.6.011

А. И. П а с т у х о в, Е. К. Г а л е м и н

К РАСЧЕТУ АЭРОДИНАМИЧЕСКИХ ХАРАКТЕРИСТИК ТОНКИХ КРЫЛЬЕВ С ПОСТОЯННОЙ ПО РАЗМАХУ СТРЕЛОВИДНОСТЬЮ В НЕСЖИМАЕМОМ ПОТОКЕ ВБЛИЗИ ЭКРАНА

Рассмотрено применение метода непрерывной вихревой поверхности к расчету аэродинамических характеристик крыльев около экрана.

Известные работы, связанные с расчетами аэродинамических характеристик крыльев около экрана, базируются, в основном, на методе дискретных вихрей [1]. Недостаточное теоретическое обоснование этого метода, а также сомнения в правильности подхода, согласно которому свободные вихри, сходящие с кромок панелей отображенного крыла, индуцируют скорости “сквозь” его непроницаемую поверхность, обуславливают попытку использовать для решения вопроса метод непрерывной вихревой поверхности.

Основные допущения. Задача о движении крыла около экранирующей поверхности имеет непосредственное отношение к практическим проблемам взлетно-посадочных режимов самолетов и полета экранопланов. При движении крыла на малых расстояниях от экранирующей поверхности (земля, водная поверхность) его аэродинамические характеристики существенно отличаются от их значений в безграничном потоке. Опыт показывает, что зависимости коэффициентов подъемной силы и продольного момента от угла атаки становятся существенно нелинейными даже у крыльев, имеющих большие относительные удлинения.

Эффект влияния близости экранирующей поверхности к реальному крылу, как известно, можно воспроизвести крылом, зеркально отображенным относительно экрана. Увеличение нормальных к модели реального крыла скоростей набегающего потока за счет скоростей, индуцируемых вихревой моделью зеркально отображенного крыла, приводит согласно условию непроницаемости к увеличению интенсивностей вихрей модели реального крыла и к перераспределению вихревой плотности по размаху и хордам.

При рассмотрении этой задачи для крыла конечного удлинения индукции свободных вихрей “сквозь” плоскость отображенного крыла

нием от середины крыла до средней линии соответствующей панели:

$$z' = (k + 0,5) \frac{l}{2n}.$$

В относительных координатах и величинах указанные параметры имеют вид

$$x = -\frac{b_0}{2} \cos \theta, \quad dx = \frac{b_0}{2} \sin \theta d\theta, \quad x' = -\frac{b_0}{2} \cos \theta', \quad dx' = \frac{b_0}{2} \sin \theta' d\theta',$$

$$\lambda^* = \frac{l}{b_0}, \quad \lambda_n^* = \frac{l}{b_0 n}, \quad \bar{z}' = (k + 0,5) \frac{l}{b_0 n} = (k + 0,5) \lambda_n^*,$$

где b_0 — длина корневой хорды.

Относительное обратное сужение по середине i -й панели обозначается \bar{a}_i^* , по концевому торцу панели — \bar{a}_{i+1} , по торцу, обращенному к среднему сечению крыла, — \bar{a}_i (см. рис. 1):

$$\bar{a}_i^* = 1 - (i + 0,5) \lambda_n^* \operatorname{tg} \chi^{**}, \quad \bar{a}_{i+1} = 1 - (i + 1) \lambda_n^* \operatorname{tg} \chi^{**},$$

$$\bar{a}_i = (1 - 0,5) \lambda_n^* \operatorname{tg} \chi^{**}, \quad \operatorname{tg} \chi^{**} = 0,5(\operatorname{tg} \chi_{\Pi} - \operatorname{tg} \chi_3),$$

χ_{Π} и χ_3 — углы стреловидности передней и задней кромок крыла соответственно.

Примем, что распределение вихревой плотности по модели отображенного крыла $\gamma_i(x, \alpha)$, интенсивности присоединенных и свободных вихрей, лежащих в плоскости хорд, как было указано выше, имеют те же значения, что и на модели реального крыла в свободном потоке.

Вычисление скоростей, вызванных присоединенными вихрями модели отображенного крыла. Полагая вихревую плотность величиной постоянной вдоль размаха i -й панели, а ее значение в корневом сечении крыла $\gamma_i(x, \alpha)$, интенсивность элементарного несущего вихря можно представить в виде $\gamma_i(x, \alpha, h) \bar{a}_i^* \cos \chi(x) dx$, где $\chi(x)$ — угол стреловидности несущего вихря с координатой x в корневом сечении.

В соответствии с формулой Био-Савара элементарную скорость, вызванную присоединенными вихрями i -х панелей обеих половин отображенного крыла, в точке А реального крыла, расположенной в среднем сечении k -й панели с координатой $x'(\theta')$ в корневом сечении крыла, можно найти в виде

$$dV_{\Pi i, k} = \frac{\gamma_i \bar{a}_i^* \cos \chi dx}{4\pi} \left[\frac{1}{h''_{\Pi k}} (\cos \varphi''_{2i, k} - \cos \varphi''_{1i, k}) + \frac{1}{h'_{\Pi k}} (\cos \varphi'_{2i, k} - \cos \varphi'_{1i, k}) \right], \quad (1)$$

где $h'_{\Pi k}$ и $h''_{\Pi k}$ — длины перпендикуляров, опущенных из точки А реального крыла на присоединенные вихри i -х панелей обеих половин отображенного крыла (рис. 2):

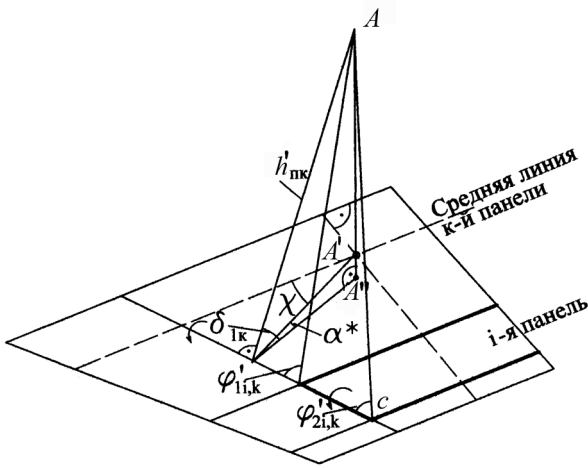


Рис. 2. Схема к вычислению скоростей, вызванных присоединенными вихрями модели отобранного крыла

в безразмерном виде

$$\begin{aligned} \bar{h}'_{пк} = & \left\{ [\bar{a}_k^* (\cos \theta - \cos \theta') \cos \chi(\theta) \cos \alpha^*(\theta)]^2 + \right. \\ & + \left\{ 2\bar{h} + \{2[\lambda^* - (k + 0,5)\lambda_n^*] \operatorname{tg} \chi_3 + 2\bar{a}_k^* (1 + \cos \theta')\} \sin \alpha + \right. \\ & \left. \left. + \bar{a}_k^* (\cos \theta - \cos \theta') \cos \chi(\theta) \sin \alpha^*(\theta) \right\}^2 \right\}^{\frac{1}{2}}; \end{aligned}$$

$$\begin{aligned} \bar{h}''_{пк} = & \left\{ [\bar{a}_k^* (\cos \theta - \cos \theta') \cos \chi(\theta) \cos \alpha^*(\theta) + \right. \\ & \left. + 2(k + 0,5)\lambda_n^* \sin \chi(\theta) \cos \alpha^*(\theta) \right]^2 + \\ & + \left\{ 2\bar{h} + \left\{ 2[\lambda^* - (k + 0,5)\lambda_n^*] \operatorname{tg} \chi_3 + 2\bar{a}_k^* (1 + \cos \theta') \right\} \sin \alpha + \right. \\ & \left. \left. + \bar{a}_k^* (\cos \theta - \cos \theta') \cos \chi(\theta) \sin \alpha^*(\theta) \right\}^2 \right\}^{\frac{1}{2}}, \end{aligned}$$

где α^* — угол атаки в плоскости, нормальной к несущему вихрю (см. рис. 2).

$$\cos \varphi'_{1i,k} = \frac{\bar{\rho}'_{i,k}}{\sqrt{(\bar{h}'_{пк,k})^2 + (\bar{\rho}'_{i,k})^2}}; \quad \cos \varphi'_{2i,k} = \frac{\bar{\rho}'_{i+1,k}}{\sqrt{(\bar{h}'_{пк,k})^2 + (\bar{\rho}'_{i+1,k})^2}};$$

$$\cos \varphi''_{1i,k} = \frac{\bar{\rho}''_{i,k}}{\sqrt{(\bar{h}''_{пк,k})^2 + (\bar{\rho}''_{i,k})^2}}; \quad \cos \varphi''_{2i,k} = \frac{\bar{\rho}''_{i+1,k}}{\sqrt{(\bar{h}''_{пк,k})^2 + (\bar{\rho}''_{i+1,k})^2}};$$

$$\bar{\rho}'_{i,k} = \frac{[i - (k + 0,5)] \lambda_n^*}{\cos \chi(\theta)} - \bar{a}_k^* (\cos \theta - \cos \theta') \sin \chi(\theta);$$

$$\bar{\rho}'_{i+1,k} = \frac{[i + 1 - (k + 0,5)] \lambda_n^*}{\cos \chi(\theta)} - \bar{a}_k^* (\cos \theta - \cos \theta') \sin \chi(\theta);$$

$$\begin{aligned} \rho''_{i,k} &= \frac{[i + (k + 0,5)] \lambda_n^*}{\cos \chi(\theta)} - \\ &- [\bar{a}_k^* (\cos \theta - \cos \theta') \cos \chi(\theta) + 2(k + 0,5) \lambda_n^* \sin \chi(\theta)] \operatorname{tg} \chi(\theta); \end{aligned}$$

$$\begin{aligned} \rho''_{i+1,k} &= \frac{[i + 1 + (k + 0,5)] \lambda_n^*}{\cos \chi(\theta)} - \\ &- [\bar{a}_k^* (\cos \theta - \cos \theta') \cos \chi(\theta) + 2(k + 0,5) \lambda_n^* \sin \chi(\theta)] \operatorname{tg} \chi(\theta), \end{aligned}$$

где $2\bar{h} = 2 \frac{h}{b_0/2}$ — относительное расстояние по вертикали между концами торцовых хорд.

Проектируя скорость, вызванную элементарными присоединенными вихрями i -х панелей, на нормаль к поверхности реального крыла, получим (см. рис. 2)

$$dV_{ni,k}^{(n)} = dV_{ni,k} \sin(\delta - \alpha^*). \quad (2)$$

Интегрируя выражение (2) с учетом соотношения (1), получим нормальную к поверхности реального крыла безразмерную скорость, вызванную всеми присоединенными вихрями i -х панелей отобранного крыла в точке с координатой θ' среднего сечения k -й панели:

$$\begin{aligned} \bar{V}_{ni,k}^{(n)}(\alpha, \theta', \bar{h}) &= \frac{\bar{a}_i^*}{2\pi} \int_0^\pi \bar{\gamma}_i(\alpha, \theta, \bar{h}) \left\{ \frac{\sin[\delta_{1k}(\theta, \theta', \alpha) - \alpha^*]}{2h'_{nk}(\alpha, \theta, \theta', \bar{h})} \times \right. \\ &\times [\cos \varphi'_{2i,k}(\theta, \theta', \alpha, \bar{h}) - \cos \varphi'_{1i,k}(\theta, \theta', \alpha, \bar{h})] + \frac{\sin[\delta_{2k}(\theta, \theta', \alpha) - \alpha^*]}{2h''_{nk}(\alpha, \theta, \theta', \bar{h})} \times \\ &\left. \times [\cos \varphi''_{2i,k}(\theta, \theta', \alpha, \bar{h}) - \cos \varphi''_{1i,k}(\theta, \theta', \alpha, \bar{h})] \right\} \cos \chi(\theta) \sin \theta d\theta \quad (3) \end{aligned}$$

или

$$\bar{V}_{ni,k}^{(n)}(\alpha, \theta', \bar{h}) = \frac{\bar{a}_i^*}{2\pi} \int_0^\pi \bar{\gamma}_i(\alpha, \theta, \bar{h}) \sigma_{i,k}^*(\alpha, \theta, \theta', \bar{h}) \cos \chi(\theta) \sin \theta d\theta,$$

где $\sigma_{i,k}^*$ определяется выражением, заключенным в фигурные скобки

в формуле (3),

$$\delta_{1k} = \arcsin \left(\frac{\bar{a}_i^* (\cos \theta - \cos \theta') \cos \chi (\theta) \cos \alpha^*}{\bar{h}_{nk}'} \right);$$

$$\begin{aligned} \delta_{2k} &= \\ &= \arcsin \left(\frac{[\bar{a}_i^* (\cos \theta - \cos \theta') \cos \chi (\theta) + 2(k + 0,5) \lambda_n^* \sin \chi (\theta)] \cos \alpha^*}{\bar{h}_{nk}''} \right). \end{aligned}$$

Суммируя по всем панелям отобранного крыла, можно получить

$$\bar{V}_{nk}^{(n)} (\alpha, \theta', \bar{h}) = \sum_{i=0}^{n-1} \bar{V}_{ni,k}^{(n)} (\alpha, \theta', \bar{h}).$$

Вычисление скоростей, вызванных свободными вихрями модели отобранного крыла. Для скорости, вызванной элементарными свободными вихрями, лежащими в плоскости отобранного крыла, сходящими с торцов i -х панелей, в точке A k -й панели реального крыла можно записать

$$\begin{aligned} d\bar{V}_{ci,k} = \frac{\gamma_i \bar{a}^* \cos \chi dx}{4\pi} & \left(\frac{1 + \cos \delta'_{ci+1,k}}{\bar{h}'_{ci+1,k}} + \frac{1 + \cos \delta'_{ci,k}}{\bar{h}'_{ci,k}} + \right. \\ & \left. + \frac{1 + \cos \delta''_{ci+1,k}}{\bar{h}''_{ci+1,k}} + \frac{1 + \cos \delta''_{ci,k}}{\bar{h}''_{ci,k}} \right), \end{aligned}$$

где h'_c и h''_c — длины перпендикуляров, опущенных из точки A на оси свободных вихрей, сходящих с торцов i -х панелей обеих половин модели отобранного крыла (рис. 3). В безразмерной форме получим:

$$\begin{aligned} \bar{h}'_{ci,k} &= \sqrt{\bar{\eta}^2 \cos^2 \alpha + \{[i - (k + 0,5)] \lambda_n^*\}^2}, \\ \bar{h}''_{ci,k} &= \sqrt{\bar{\eta}^2 \cos^2 \alpha + \{[i + (k + 0,5)] \lambda_n^*\}^2}; \\ \bar{h}'_{ci+1,k} &= \sqrt{\bar{\eta}^2 \cos^2 \alpha + \{[i + 1 - (k + 0,5)] \lambda_n^*\}^2}; \\ \bar{h}''_{ci+1,k} &= \sqrt{\bar{\eta}^2 \cos^2 \alpha + \{[i + 1 + (k + 0,5)] \lambda_n^*\}^2}; \end{aligned}$$

$$\bar{\eta} = \bar{\eta} (\alpha, h, \theta') =$$

$$= 2\bar{h} + 2\bar{a}_k^* (1 + \cos \theta') \sin \alpha + 2 [\lambda^* - (k + 0,5) \bar{\lambda}_n^*] \operatorname{tg} \chi_3 \sin \alpha,$$

где $2\bar{h} + 2[\lambda^* - (k + 0,5) \lambda_n^*] \operatorname{tg} \chi_3 \sin \alpha$ — относительное расстояние по вертикали между концами хорд, проведенных через средние сечения k -х панелей (стреловидное крыло);

Для лежащей в плоскости AA_1BB_1'' (см. рис. 3) составляющей скорости, вызванной в точке A реального крыла элементарными свободными вихрями i -х панелей отображенного крыла с координатами точек схода $\bar{a}_i x'$ или $-\bar{a}_i \frac{b_0}{2} \cos \theta'$ и $\bar{a}_{i+1} x'$ или $-\bar{a}_{i+1} \frac{b_0}{2} \cos \theta'$, нормальной к поверхности отображенного крыла, можно получить

$$d\bar{V}'_{ci,k} = \frac{\bar{\gamma}_i \bar{a}_i^* \cos \chi \sin \theta d\theta}{4\pi} \left\{ \frac{\cos \psi'_{ci+1,k} (1 + \cos \delta'_{ci+1,k})}{\bar{h}'_{ci+1,k}} - \frac{\cos \psi'_{ci,k} (1 + \cos \delta'_{ci,k})}{\bar{h}'_{ci,k}} + \frac{\cos \psi''_{ci+1,k} (1 + \cos \delta''_{ci+1,k})}{\bar{h}''_{ci+1,k}} - \frac{\cos \psi''_{ci,k} (1 + \cos \delta''_{ci,k})}{\bar{h}''_{ci,k}} \right\}, \quad (4)$$

где

$$\begin{aligned} \cos \psi'_{ci+1,k} &= \frac{[i + 1 - (k + 0, 5)] \lambda_n^*}{h'_{ci+1,k}}, & \cos \psi'_{ci,k} &= \frac{[i - (k + 0, 5)] \lambda_n^*}{h'_{ci,k}}, \\ \cos \psi''_{ci+1,k} &= \frac{[i + 1 + (k + 0, 5)] \lambda_n^*}{h''_{ci+1,k}}, & \cos \psi''_{ci,k} &= \frac{[i + (k + 0, 5)] \lambda_n^*}{h''_{ci,k}}. \end{aligned}$$

Проецируя эту скорость на нормаль к поверхности реального крыла в точке A , получим

$$d\bar{V}^{(n)}_{ci,k} = d\bar{V}'_{ci,k} \cos 2\alpha. \quad (5)$$

Интегрируя уравнение (5) с учетом выражения (4) по корневой хорде модели отображенного крыла, нормальную к поверхности реального крыла в точке A безразмерную скорость, вызванную всеми свободными вихрями, сходящими с торцов i -х панелей отображенного крыла, можно получить в виде

$$\begin{aligned} \bar{V}^{(n)}_{ci,k}(\alpha, \theta', \bar{h}) &= \frac{\bar{a}_i^*}{2\pi} \int_0^\pi \bar{\gamma}_i(\alpha, \theta) \left\{ \frac{[i + 1 - (k + 0, 5)] \lambda_n^* \cos 2\alpha}{2 [\bar{h}'_{ci+1,k}(\alpha, \theta, \theta', \bar{h})]^2} \times \right. \\ &\quad \times [1 + \cos \delta'_{ci+1,k}(\alpha, \theta, \theta', \bar{h})] - \\ &\quad \left. - \frac{[i - (k + 0, 5)] \lambda_n^* \cos 2\alpha}{2 [\bar{h}'_{ci,k}(\alpha, \theta, \theta', \bar{h})]^2} [1 + \cos \delta'_{ci,k}(\alpha, \theta, \theta', \bar{h})] + \right. \end{aligned}$$

$$\begin{aligned}
& + \frac{[i + 1 + (k + 0, 5)] \lambda_n^* \cos 2\alpha}{2 [\bar{h}_{ci+1,k}''(\alpha, \theta, \theta', \bar{h})]^2} [1 + \cos \delta_{ci+1,k}''(\alpha, \theta, \theta', \bar{h})] - \\
& - \frac{[i + (k + 0, 5)] \lambda_n^* \cos 2\alpha}{2 [\bar{h}_{ci,k}''(\alpha, \theta, \theta', \bar{h})]^2} [1 + \cos \delta_{ci,k}''(\alpha, \theta, \theta', \bar{h})] \left. \right\} \cos \chi(\theta) \sin \theta d\theta
\end{aligned} \tag{6}$$

или

$$\bar{V}_{ci,k}^{(n)}(\alpha, \theta', \bar{h}) = \frac{\bar{a}_i^*}{2\pi} \int_0^\pi \bar{\gamma}_i(\alpha, \theta) \omega_{ik}^*(\alpha, \theta, \theta', \bar{h}) \cos \chi(\theta) \sin \theta d\theta,$$

где через ω_{ik}^* обозначено выражение в фигурных скобках формулы (6).

Суммируя по всем панелям отображенного крыла, получим

$$\bar{V}_{ck}^{(n)}(\alpha, \theta', \bar{h}) = \sum_{i=0}^{n-1} \bar{V}_{ci,k}^{(n)}(\alpha, \theta', \bar{h}).$$

Распределение вихревой плотности по хордам панелей отображенного $\bar{\gamma}_i(\alpha, \theta)$ и реального $\bar{\gamma}_i(\alpha, \theta, \bar{h})$ крыльев представляется приближенно тригонометрическими рядами [2]:

$$\bar{\gamma}_i(\alpha, \theta) = 2 \left[A_{0i}(\alpha) \operatorname{ctg} \frac{\theta}{2} + \sum_{q=1}^p A_{qi}(\alpha) \sin q\theta \right],$$

$$\bar{\gamma}_i(\alpha, \theta, \bar{h}) = 2 \left[B_{0i}(\alpha, \bar{h}) \operatorname{ctg} \frac{\theta}{2} + \sum_{q=1}^p B_{qi}(\alpha, \bar{h}) \sin q\theta \right].$$

Распределение вихревой плотности модели отображенного крыла считается заданным — полученным из расчета крыла в свободном потоке (по методике [2]), соответственно, заданными принимаются и коэффициенты ряда $A_{0i}(\alpha), A_{1i}(\alpha), \dots, A_{pi}(\alpha)$.

Уравнение непроницаемости. Вычисление величины и закона распределения вихревой плотности модели реального крыла около экрана. С учетом действия вихрей модели отображенного крыла уравнение непроницаемости реального крыла в точке среднего сечения k -й панели будет иметь вид

$$\begin{aligned}
& \frac{1}{2\pi} \int_0^\pi \left[\sum_{i=0}^{n-1} \bar{\gamma}_i(\alpha, \theta, \bar{h}) K_{i,k}(\alpha, \theta, \theta') \sin \theta d\theta + \right. \\
& \left. + \bar{V}_{nk}^{(n)}(\alpha, \theta', \bar{h}) + \bar{V}_{ck}^{(n)}(\alpha, \theta', \bar{h}) \right] = \sin \alpha,
\end{aligned}$$

где в соответствии с работой [2]

$$K_{i,k}(\alpha, \theta, \theta') = \bar{a}_i^* [\sigma_{i,k}(\theta, \theta') + \omega_{i,k}(\alpha, \theta, \theta')] \cos \chi(\theta)$$

или

$$\begin{aligned} \frac{1}{2\pi} \int_0^\pi \sum_{i=0}^{n-1} \bar{\gamma}_i(\alpha, \theta, \bar{h}) K_{i,k}(\alpha, \theta, \theta') \sin \theta d\theta = \\ = \sin \alpha + \frac{1}{2\pi} \int_0^\pi \sum_{i=0}^{n-1} \bar{\gamma}_i(\alpha, \theta) K_{i,k}^*(\alpha, \theta, \theta', \bar{h}) \sin \theta d\theta, \quad (7) \end{aligned}$$

где

$$K_{i,k}^*(\alpha, \theta, \theta', \bar{h}) = \bar{a}_i^* [\sigma_{i,k}^*(\alpha, \theta, \theta', \bar{h}) + \omega_{i,k}^*(\alpha, \theta, \theta', \bar{h})] \cos \chi(\theta).$$

Второе слагаемое правой части уравнения (7) при заданных значениях коэффициентов ряда для $\bar{\gamma}_i$ приводит задачу к расчету вихревой плотности крыла с переменным по размаху и хордам углом атаки:

$$\sin \alpha_k^*(\theta', \alpha, \bar{h}) = \sin \alpha + \frac{1}{2\pi} \int_0^\pi \sum_{i=0}^{n-1} \bar{\gamma}_i(\alpha, \theta) K_{i,k}^*(\alpha, \theta, \theta', \bar{h}) \sin \theta d\theta. \quad (8)$$

Для примера воспользуемся простейшим представлением вихревой плотности $\bar{\gamma}_i$ трехчленным выражением:

$$\bar{\gamma}_i(\alpha, \theta, \bar{h}) = 2 \left[B_{0i}(\alpha, \bar{h}) \operatorname{ctg} \frac{\theta}{2} + B_{1i}(\alpha, \bar{h}) \sin \theta + B_{2i}(\alpha, \bar{h}) \sin 2\theta \right],$$

которое позволяет вычислить суммарные аэродинамические характеристики как для каждой панели, так и для крыла в целом.

Для этого простейшего случая, опуская параметры в круглых скобках в выражениях (7) и (8) за исключением координаты точки θ' в среднем сечении k -й панели реального крыла, система уравнений непроницаемости будет иметь следующий вид:

$$\begin{aligned} B_{00} \int_0^\pi K_{0,0}(\theta'_1)(1 + \cos \theta) d\theta + B_{10} \int_0^\pi K_{0,0}(\theta'_1) \sin^2 \theta d\theta + \\ + B_{20} \int_0^\pi K_{0,0}(\theta'_1) \sin 2\theta \sin \theta d\theta + B_{01} \int_0^\pi K_{1,0}(\theta'_1)(1 + \cos \theta) d\theta + \\ + B_{11} \int_0^\pi K_{1,0}(\theta'_1) \sin^2 \theta d\theta + B_{21} \int_0^\pi K_{1,0}(\theta'_1) \sin 2\theta \sin \theta d\theta + \end{aligned}$$

$$\begin{aligned}
& + B_{02} \int_0^{\pi} K_{2,0}(\theta'_1)(1 + \cos \theta)d\theta + B_{12} \int_0^{\pi} K_{2,0}(\theta'_1) \sin^2 \theta d\theta + \\
& \qquad + B_{22} \int_0^{\pi} K_{2,0}(\theta'_1) \sin 2\theta \sin \theta d\theta = \pi \sin \alpha_0^*(\theta'_1);
\end{aligned}$$

$$\begin{aligned}
& B_{00} \int_0^{\pi} K_{0,0}(\theta'_2)(1 + \cos \theta)d\theta + B_{10} \int_0^{\pi} K_{0,0}(\theta'_2) \sin^2 \theta d\theta + \\
& + B_{20} \int_0^{\pi} K_{0,0}(\theta'_2) \sin 2\theta \sin \theta d\theta + B_{01} \int_0^{\pi} K_{1,0}(\theta'_2)(1 + \cos \theta)d\theta + \\
& + B_{11} \int_0^{\pi} K_{1,0}(\theta'_2) \sin^2 \theta d\theta + B_{21} \int_0^{\pi} K_{1,0}(\theta'_2) \sin 2\theta \sin \theta d\theta + \\
& + B_{02} \int_0^{\pi} K_{2,0}(\theta'_2)(1 + \cos \theta)d\theta + B_{12} \int_0^{\pi} K_{2,0}(\theta'_2) \sin^2 \theta d\theta + \\
& \qquad + B_{22} \int_0^{\pi} K_{2,0}(\theta'_2) \sin 2\theta \sin \theta d\theta = \pi \sin \alpha_0^*(\theta'_2);
\end{aligned}$$

$$\begin{aligned}
& B_{00} \int_0^{\pi} K_{0,0}(\theta'_3)(1 + \cos \theta)d\theta + B_{10} \int_0^{\pi} K_{0,0}(\theta'_3) \sin^2 \theta d\theta + \\
& + B_{20} \int_0^{\pi} K_{0,0}(\theta'_3) \sin 2\theta \sin \theta d\theta + B_{01} \int_0^{\pi} K_{1,0}(\theta'_3)(1 + \cos \theta)d\theta + \\
& + B_{11} \int_0^{\pi} K_{1,0}(\theta'_3) \sin^2 \theta d\theta + B_{21} \int_0^{\pi} K_{1,0}(\theta'_3) \sin 2\theta \sin \theta d\theta + \\
& + B_{02} \int_0^{\pi} K_{2,0}(\theta'_3)(1 + \cos \theta)d\theta + B_{12} \int_0^{\pi} K_{2,0}(\theta'_3) \sin^2 \theta d\theta + \\
& \qquad + B_{22} \int_0^{\pi} K_{2,0}(\theta'_3) \sin 2\theta \sin \theta d\theta = \pi \sin \alpha_0^*(\theta'_3).
\end{aligned}$$

Для определения девяти коэффициентов ряда (0, 1 и 2-я панели) необходимо записать еще по три уравнения непроницаемости для

1 и 2-й панелей. Все эти девять коэффициентов вычисляются для фиксированных значений \bar{h} и α .

Вычисление аэродинамических характеристик. Вихревую плотность

$$\bar{\gamma}_i(\alpha, \theta, \bar{h}) = 2 \left[\bar{B}_{0i}(\alpha, \bar{h}) \operatorname{ctg} \frac{\theta}{2} + \sum_{q=1}^p \bar{B}_{qi}(\alpha, \bar{h}) \sin(q\theta) \right]$$

можно найти с учетом индукции отображенного крыла аэродинамические характеристики крыла около экрана можно вычислить по формулам, полученным для изолированного крыла [2].

Пренебрегая касательными составляющими скоростей, вызванными вихревой системой отображенного крыла, коэффициент нормальной силы, действующей на k -ю панель, можно определить по формуле

$$C_{yk}(\alpha, \bar{h}) = \int_0^{\pi} \bar{\gamma}_k(\alpha, \theta', \bar{h}) \bar{V}_k^{(x)}(\alpha, \theta') \sin \theta' d\theta',$$

где

$$\bar{V}_k^{(x)}(\alpha, \theta') = \left[\cos \alpha + \bar{V}_{ck}^{(x)}(\alpha, \theta') \right] \cos \chi(\theta') - \bar{V}_{ck}^{(z)}(\alpha, \theta') \sin \chi(\theta')$$

— безразмерное значение проекции полной относительной касательной скорости на нормаль к оси элементарного вихря с координатой $x'(\theta')$ в центральном сечении крыла в плоскости k -й панели; $\bar{V}_{ck}^{(x)}$ и $\bar{V}_{ck}^{(z)}$ — безразмерные значения проекций скорости $\bar{V}_{ck}(\alpha, \theta')$ на оси Ox и Oz , вызванной собственной вихревой системой реального крыла, плотность которой $\bar{\gamma}_i$:

$$\bar{V}_{ck}^{(x)}(\alpha, \theta') = \frac{1}{4\pi} \int_0^{\pi} \left[\sum_{i=0}^{n-1} \bar{\gamma}_i(\alpha, \theta, \bar{h}) \omega_{ci,k}^{(x)}(\alpha, \theta, \theta') \bar{a}_i^* \cos \chi(\theta) \right] \sin \theta d\theta,$$

где $\omega_{ci,k}^{(x)} = J_{ci,k}^{(x)} + J'_{ci,k}$,

$$J_{ci,k}^{(x)} = - \frac{[i+1 - (k+0,5)] \lambda_n^* \sin \alpha}{(\bar{h}'_{i+1,k})^2} \times \\ \times \left\{ 1 + \frac{\vartheta_{i+1,k} \cos \alpha}{\sqrt{\vartheta_{i+1,k}^2 \{[i+1 - (k+0,5)] \lambda_n^*\}^2}} \right\} + \\ + \frac{[i - (k+0,5)] \lambda_n^* \sin \alpha}{(\bar{h}'_{i,k})^2} \left\{ 1 + \frac{\vartheta_{i,k} \cos \alpha}{\sqrt{\vartheta_{i,k}^2 + \{[i - (k+0,5)] \lambda_n^*\}^2}} \right\};$$

$$J'_{ci,k}(x) = -\frac{[(i+1) + (k+0,5)] \lambda_n^* \sin \alpha}{(\bar{h}_{i+1,k}'')^2} \times$$

$$\times \left\{ 1 + \frac{\vartheta_{i+1,k} \cos \alpha}{\sqrt{\vartheta_{i+1,k}^2 + \{[i+1 + (k+0,5)] \lambda_n^*\}^2}} \right\} +$$

$$+ \frac{[i + (k+0,5)] \lambda_n^* \sin \alpha}{(\bar{h}_{i,k}'')^2} \left\{ 1 + \frac{\vartheta_{i,k} \cos \alpha}{\sqrt{\vartheta_{i,k}^2 + \{[i + (k+0,5)] \lambda_n^*\}^2}} \right\};$$

$$\bar{V}_{ck}^{(z)}(\alpha, \theta') = \frac{1}{4\pi} \int_0^\pi \left[\sum_{i=0}^{n-1} \bar{\gamma}_i(\alpha, \theta, \bar{h}) \omega_{ci,k}^{(z)}(\alpha, \theta, \theta') \bar{a}_i^* \cos \chi(\theta) \right] \sin \theta d\theta,$$

где $\omega_{ci,k}^{(z)} = J_{ci,k}^{(z)} + J'_{ci,k}(z)$,

$$J_{ci,k}^{(z)} = -\frac{\vartheta_{i+1,k}}{(\bar{h}_{i+1,k}')^2} \left\{ 1 + \frac{\vartheta_{i+1,k} \cos \alpha}{\sqrt{\vartheta_{i+1,k}^2 + \{[i+1 - (k+0,5)] \lambda_n^*\}^2}} \right\} +$$

$$+ \frac{\vartheta_{i,k}}{(\bar{h}_{i,k}')^2} \left\{ 1 + \frac{\vartheta_{i,k} \cos \alpha}{\sqrt{\vartheta_{i,k}^2 + \{[i - (k+0,5)] \lambda_n^*\}^2}} \right\};$$

$$J'_{ci,k}(z) = -\frac{\vartheta_{i+1,k}}{(\bar{h}_{i+1,k}'')^2} \left\{ 1 + \frac{\vartheta_{i+1,k} \cos \alpha}{\sqrt{\vartheta_{i+1,k}^2 + \{[i+1 + (k+0,5)] \lambda_n^*\}^2}} \right\} +$$

$$+ \frac{\vartheta_{i,k}}{(\bar{h}_{i,k}'')^2} \left\{ 1 + \frac{\vartheta_{i,k} \cos \alpha}{\sqrt{\vartheta_{i,k}^2 + \{[i + (k+0,5)] \lambda_n^*\}^2}} \right\},$$

$$(\bar{h}_{i+1,k}')^2 = \vartheta_{i+1,k}^2 \sin^2 \alpha + \{[i+1 - (k+0,5)] \lambda_n^*\}^2,$$

$$(\bar{h}_{i,k}')^2 = \vartheta_{i,k}^2 \sin^2 \alpha + \{[i - (k+0,5)] \lambda_n^*\}^2,$$

$$(\bar{h}_{i+1,k}'')^2 = \vartheta_{i+1,k}^2 \sin^2 \alpha + \{[i+1 + (k+0,5)] \lambda_n^*\}^2,$$

$$(\bar{h}_{i,k}'')^2 = \vartheta_{i,k}^2 \sin^2 \alpha + \{[i + (k+0,5)] \lambda_n^*\}^2,$$

$$\vartheta_{i+1,k} = \bar{a}_k^* (\cos \theta - \cos \theta') - [i + 1 - (k + 0,5)] \lambda_n^* \operatorname{tg} \chi(\theta),$$

$$\vartheta_{i,k} = \bar{a}_k^* (\cos \theta - \cos \theta') - [i - (k + 0,5)] \lambda_n^* \operatorname{tg} \chi(\theta).$$

Для коэффициента момента тангажа, действующего на k -ю панель относительно оси, проходящей через переднюю точку корневой хорды, параллельной Oz , и коэффициента давления в точке среднего сечения k -й панели с координатой θ' в корневом сечении крыла можно получить

$$m_{zk}(\alpha, \bar{h}) = \frac{1}{2} \int_0^\pi \bar{\gamma}_k(\alpha, \theta', \bar{h}) \bar{V}_k^{(x)}(\alpha, \theta') \left[1 + \frac{\lambda_n^*}{\bar{a}_k^*} (k + 0,5) \operatorname{tg} \chi_{\Pi} - \cos \theta' \right] \sin \theta' d\theta',$$

$$C_{pk}(\alpha, \theta', \bar{h}) = 2 \bar{\gamma}_k(\alpha, \theta', \bar{h}) \bar{V}_k^{(x)}(\alpha, \theta').$$

Суммарные характеристики крыла вблизи экрана определяются по следующим формулам:

$$C_y(\alpha, \bar{h}) = \frac{2 \sum_{i=0}^{n-1} C_{yk}(\alpha, \bar{h}) \bar{a}_k^*}{n(1 + \bar{a}_{\text{конц}})};$$

$$m_z(\alpha, \bar{h}) = \frac{2 \sum_{i=0}^{n-1} m_{zk}(\alpha, \bar{h}) (\bar{a}_k^*)^2}{n(1 + \bar{a}_{\text{конц}})};$$

$$C_d(\alpha, \bar{h}) = \frac{m_z(\alpha, \bar{h})}{C_y(\alpha, \bar{h})}, \quad \bar{a}_{\text{конц}} = \frac{b_{\text{конц}}}{b_0}.$$

СПИСОК ЛИТЕРАТУРЫ

1. Ермоленко С. Д., Ровных А. В. Решение задачи о крыле произвольной формы в плане, движущемся вблизи экранирующей поверхности // Изв. вузов. Авиационная техника. – 1971.
2. Пастухов А. И. Вихревое математическое моделирование обтекания тел потоком сплошной среды // Нелинейная вихревая теория несущей поверхности. – Вып. 2. – М.: Изд-во МГТУ им. Н.Э. Баумана, 1994.

Статья поступила в редакцию 1.07.2005